

Fig. 1

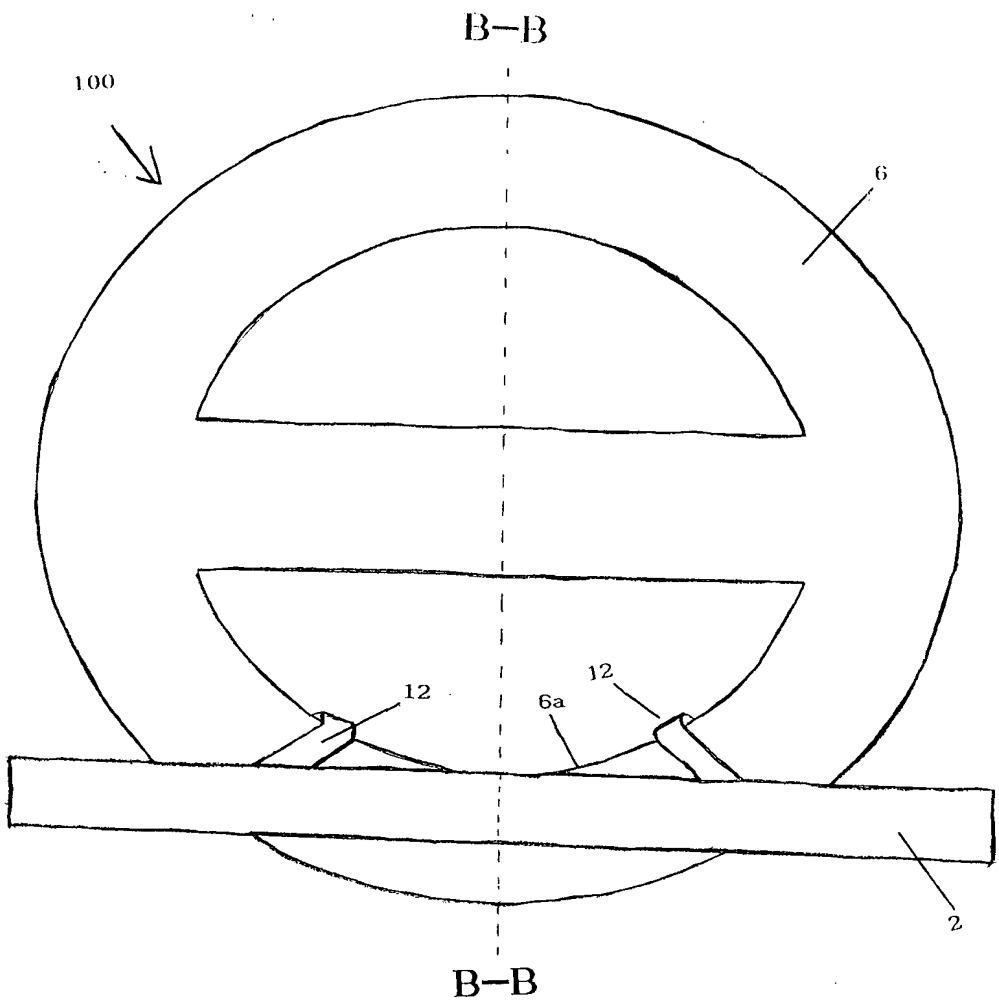


Fig. 2 A

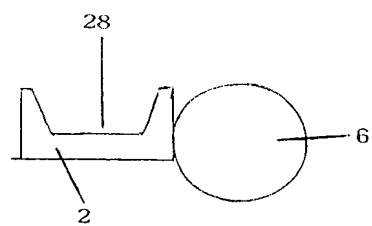
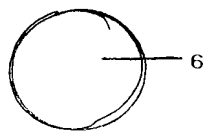
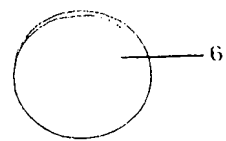


Fig. 2B

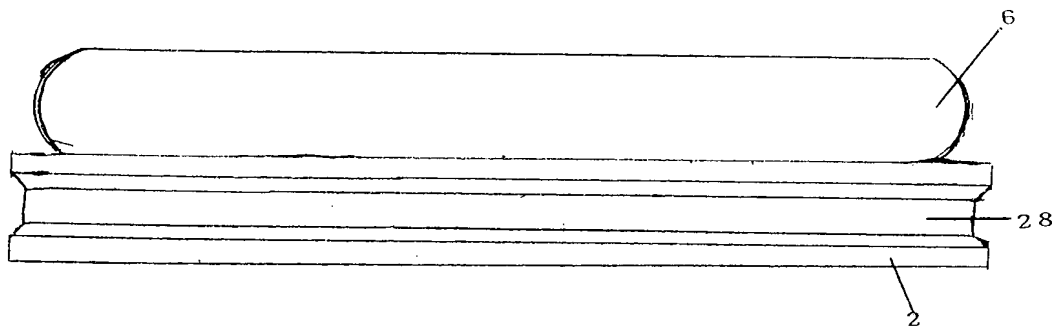


Fig. 2C

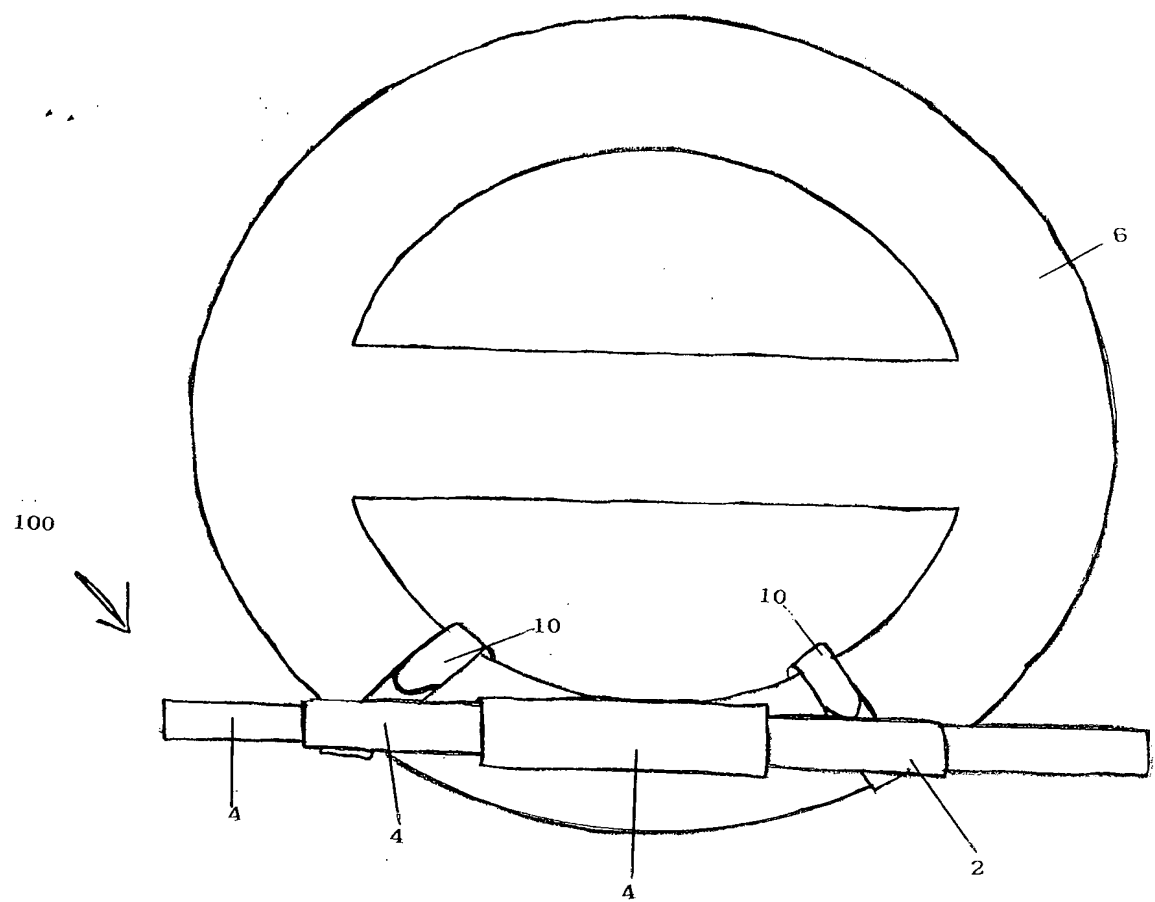


Fig. 3

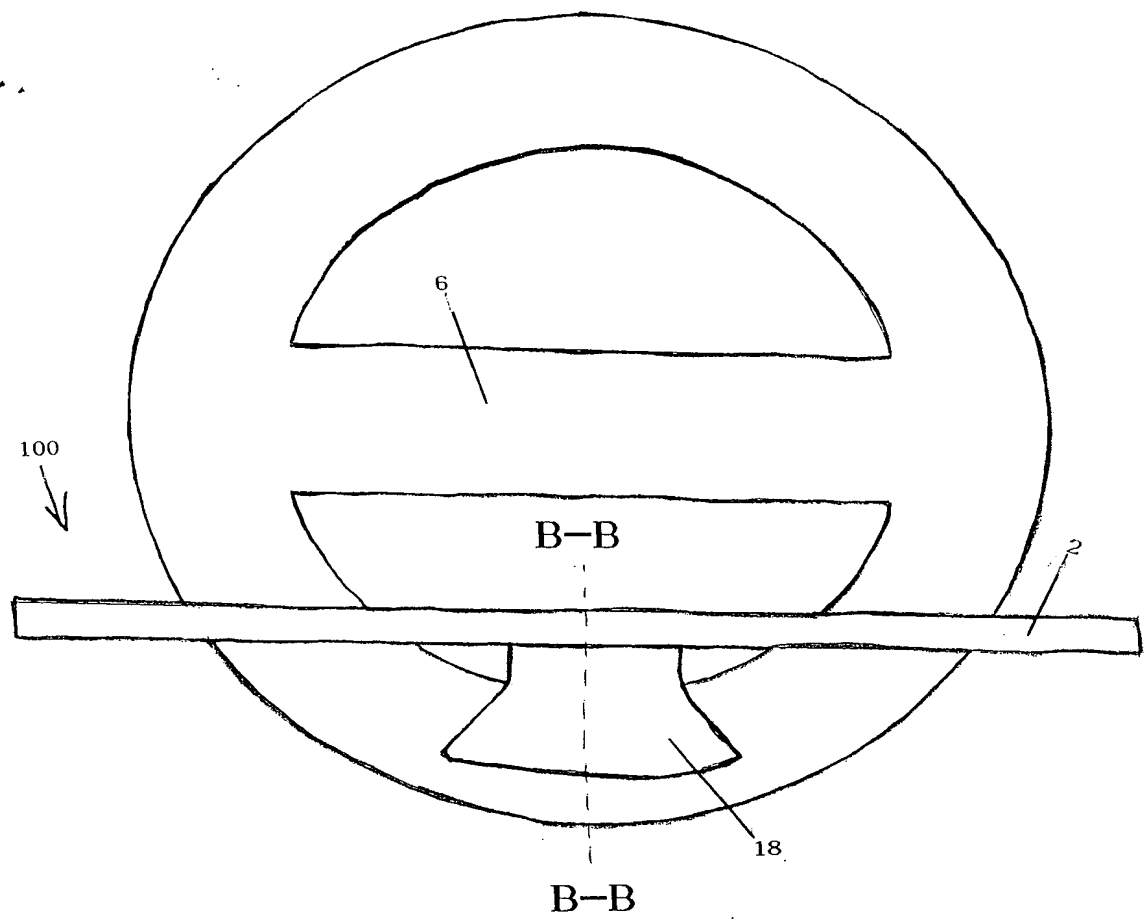


Fig. 4A

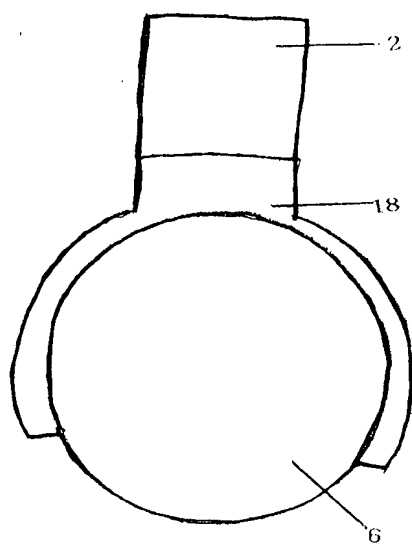


Fig. 4B

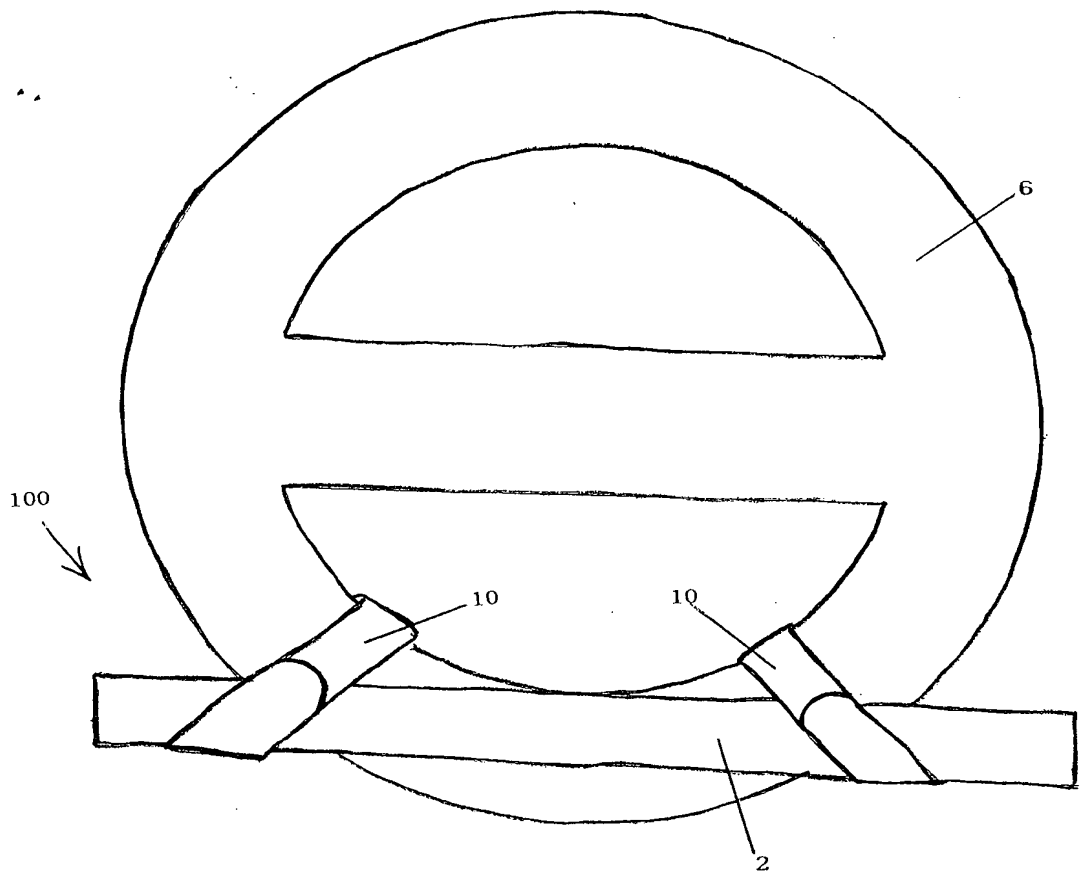


Fig. 5

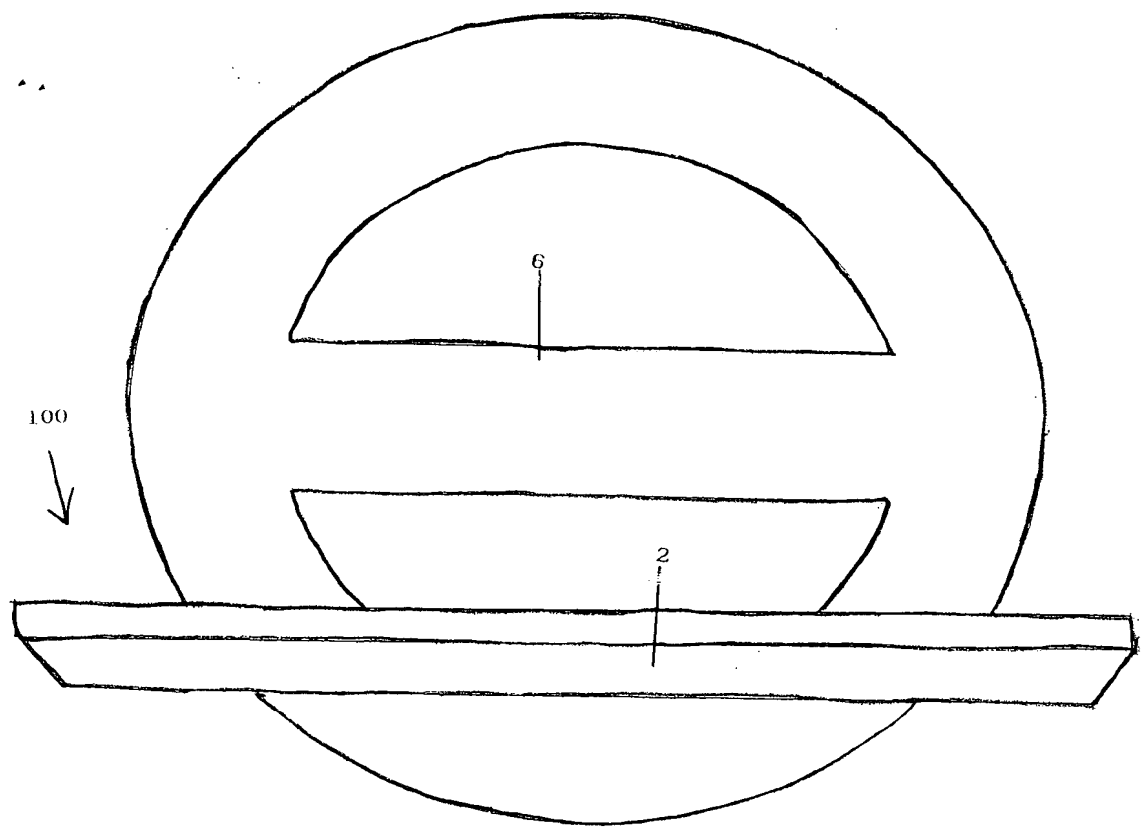


Fig. 6

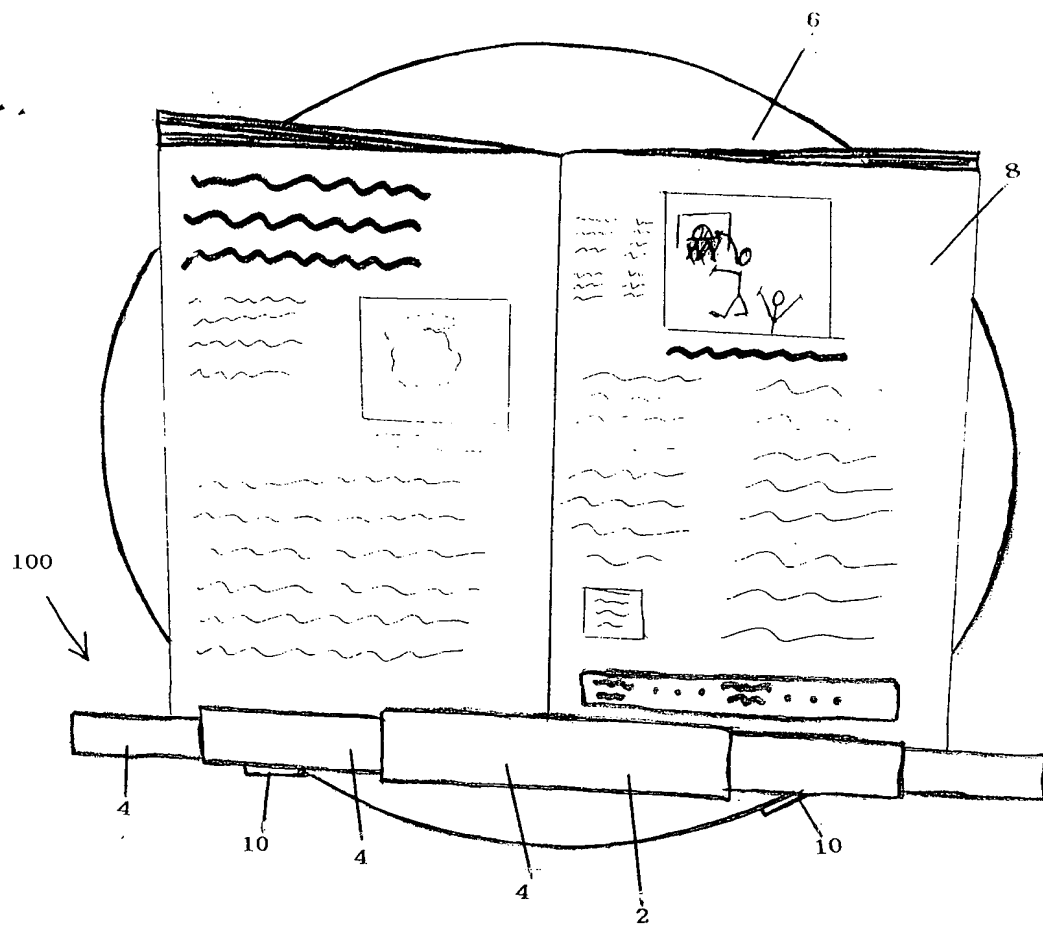


Fig. 7

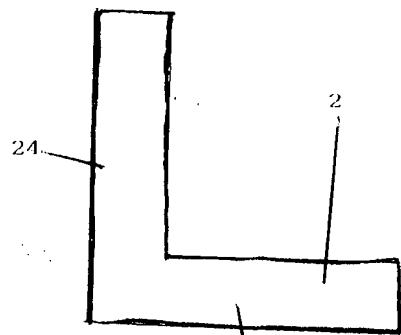


Fig. 8A

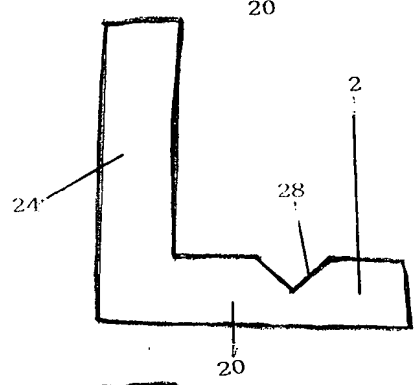


Fig. 8B

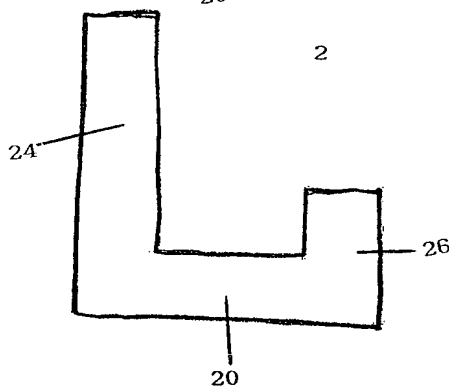


Fig. 8C

Fig. 8D

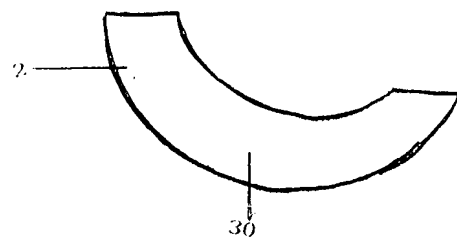


Fig. 8E

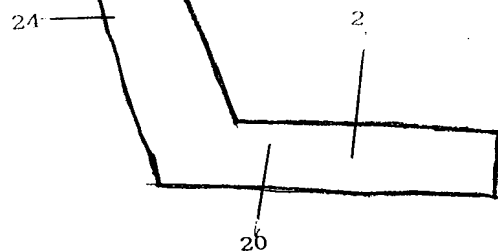
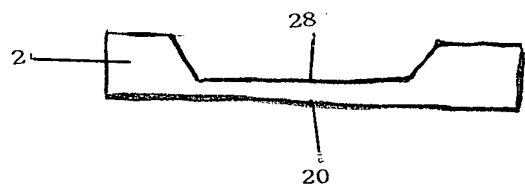


Fig. 8F



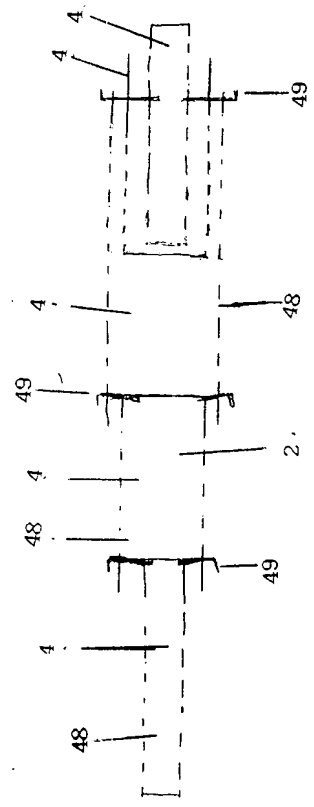


Fig. 9A

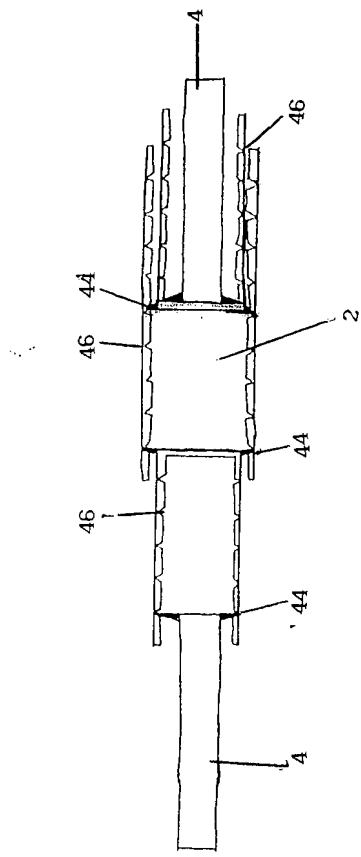


Fig. 9B

Fig. 10A

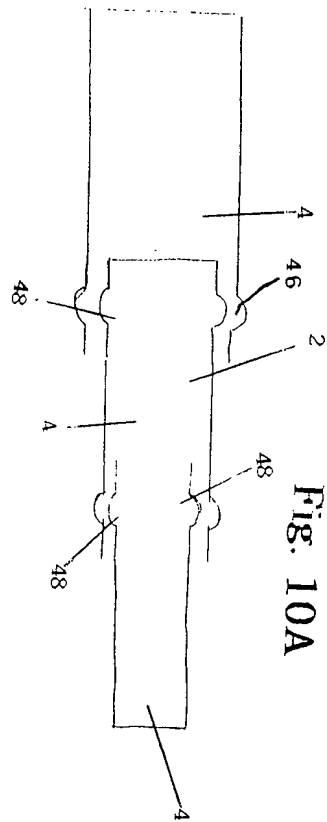
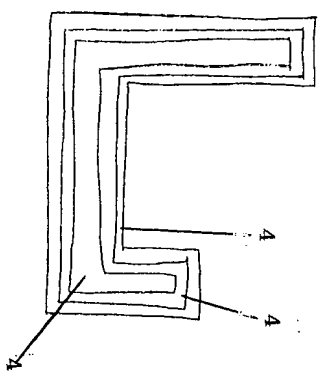
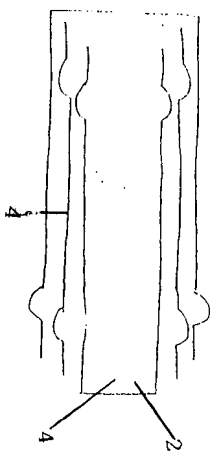


Fig. 10B



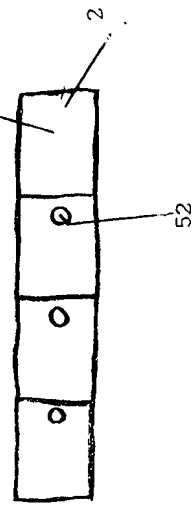


Fig. 12B

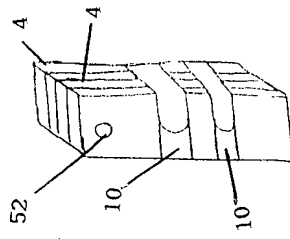


Fig. 12C

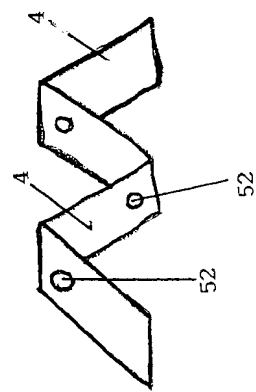


Fig. 12A

REST AVAILABLE COPY

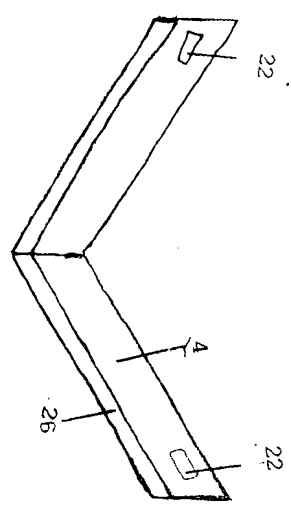


Fig. 13A

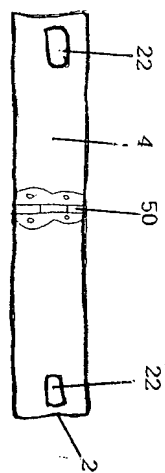


Fig. 13B

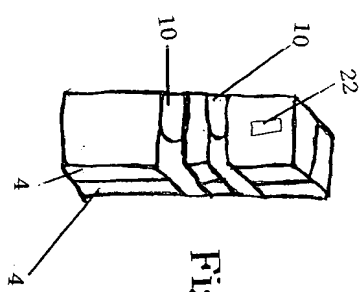


Fig. 13C



Fig. 14A

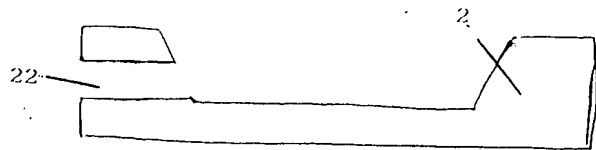


Fig. 14B

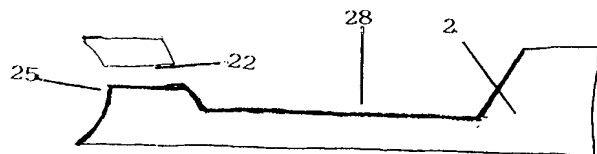


Fig. 14C

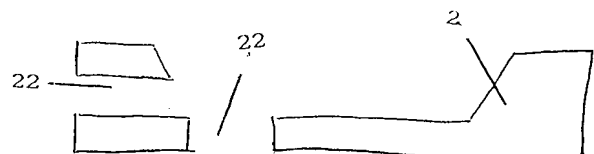


Fig. 14D

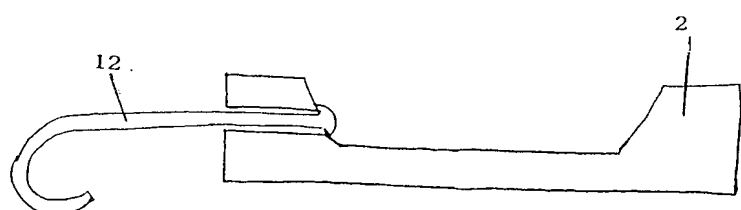


Fig. 14E

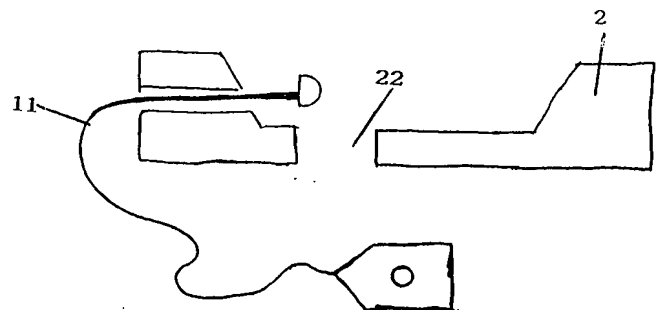


Fig. 14F

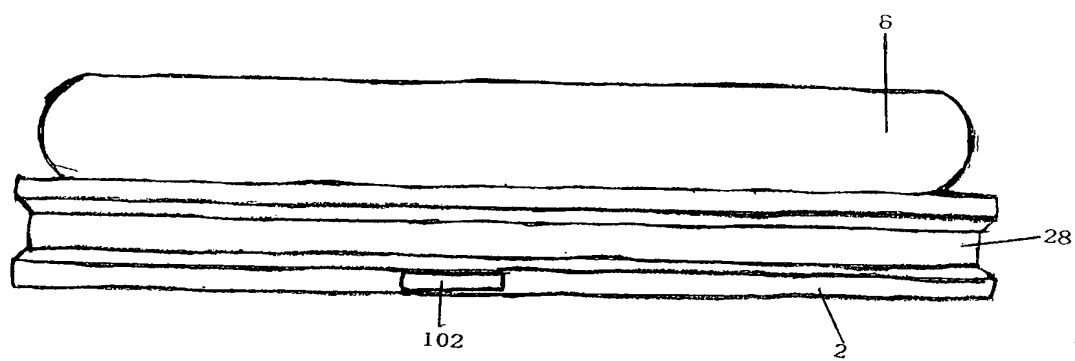


Fig. 15

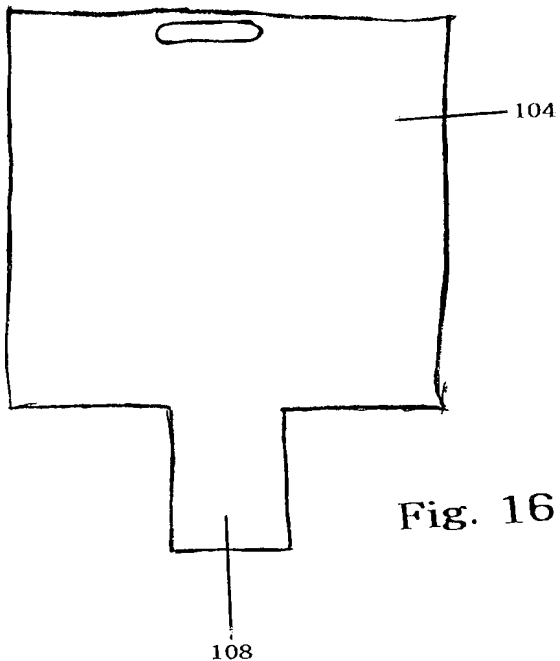


Fig. 16

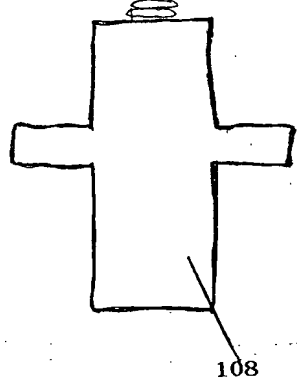


Fig. 17